

埼玉大学 理工学部 正会員 小野寺 遼  
大久保 俊治  
○大塚 康範

はじめに——本研究は、風化に伴う花崗岩の工学的性質の変化に関する研究の一環として特に強度と変形特性について三軸圧縮試験によって実験的に解析を試みたものである。試料は、本四連絡橋今治一尾道ルート上の大島付近から採取した。採取にあたって対象としたのは肉眼的観察によつて新鮮なものから整形が可能な範囲内で風化した岩石までを包括するようにした。この実験に関連して一連の物理試験を行い実効間隙率(net porosity)、超音波による動的弾性係数、動的せん断弾性係数、対数減衰率などの物性値と一軸圧縮試験、三軸圧縮試験、圧裂引張試験等の結果とを統合的に関係づけようとするものである。尚今回の実験では、三軸圧縮試験において一次破壊が認められた後、拘束圧を上げて、さらに軸荷重を加えて二次的及び三次的破壊を観察した。この二次以降の破壊を、ここでは二次、三次破壊と呼ぶことにする。

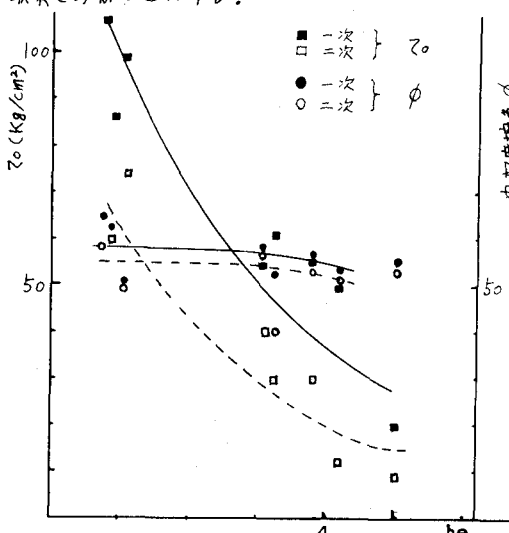
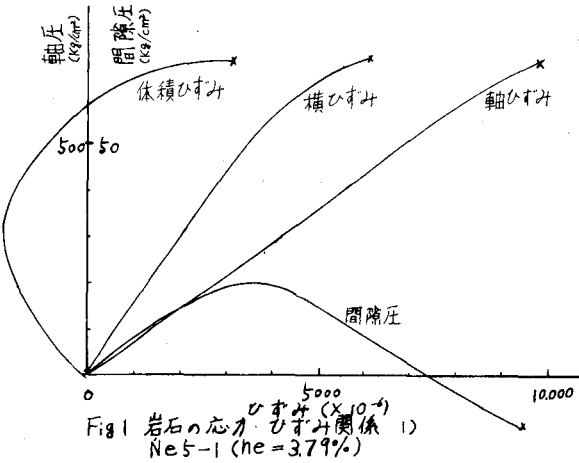


Fig. 2 対効間隙率及び内部摩擦角との関係

Fig. 1 岩石の応力・ひずみ関係 (D  
N=5-1 ( $h_e = 3.79\%$ ))

No.	$h_e$	$E_s \times 10^3$	乾燥密度		対数減衰率	引張強度
			$\delta_d$	$\delta_l$		
1	3.79	0.48	1.44	2.54	2.58	6.62
2	3.31	0.57	1.24	2.53	2.57	6.62
3	4.94			0.97	2.50	2.55
4	3.37	0.71	1.57	2.55	2.59	8.13
5	3.80	0.43	1.55	2.55	2.59	6.49
6	3.62	0.75	1.43	2.54	2.58	7.30
7	4.65	1.00	0.91	2.53	2.58	7.14

Table 1

三軸圧縮試験について——供試体は $5 \times 10 \text{ cm}$ の円筒供試体とし、軸及びその直角方向に $20 \text{ mm}$ の抵抗ひずみゲージを接着させ、一週間水浸させ試験前に真空ポンプで $10$ 時間程度脱気し飽和を促進させ飽和状態とみなした。このような供試体について最大 $100 \text{ kg/cm}^2$ の拘束圧を作用させ非排水三軸圧縮試験を行った。載荷速度を $10 \text{ kg/cm}^2/\text{min}$ 前後に保ち発生する間隙圧をアレッシャーセルにより計測し、その最大を示す附近を体積歪の減少の最大と考えてその附近では荷重を極度に落としダイヤルゲージにより、ひずみを制御して破壊最大荷重まで到達させた。次に拘束圧を上げて同様の作業を繰り返した。尚拘束圧を上げる際、初期間隙圧にする為押し込んだ水の量から破壊時の間隙率の推定を合わせて試みた。

三軸圧縮試験の結果と考察——結果 Fig. 1 は大島花崗岩について三軸試験で得られた代表的な応力歪曲線である。これによると体積歪と間隙圧の挙動は独立ではなく体積歪の減少について間隙圧は初期間隙圧に比べて増加し体積歪の減少の割り合いか小さくなると間隙圧の増加の割り合いか減少することが理解される。又間隙圧が最大を示した後、破壊最大強度を示す領域では、ひずみが

かなり進行することも認められた。次に岩石個々につつてモール円を描き、その包絡線から得られた結果について考察する。一次破壊につつては内部摩擦角 $\phi$ は $65^{\circ} \sim 50^{\circ}$ で実効間隙比率 $he$ に關係なく、ほぼ一定の値を示す。又て切片ではかなり急激に低下することがみられる。すなはち $he$ が4%以下では殆どの場合では $50 \text{ kg/cm}^2$ 以上であるが $he$ が約5%になると $\sigma'$ は $20 \text{ kg/cm}^2$ となり低下が著しい(Fig. 2 参照)。

二次破壊につつても同様に二次破壊のモール円を描き包絡線を描くと Fig. 3 の破線で示される様に内部摩擦角 $\phi$ の一次破壊からの減少は、少しこれ程大きくなく、ほぼ一定である。しかしこれに於ける切片 $\sigma'_0$ は一次破壊におけるものに比べて低下は著しい。二次破壊につつては $\phi$ は $42^{\circ} \sim 62^{\circ}$ と余り低下しないが、これは $12^{\circ} \sim 75^{\circ} \text{ kg/cm}^2$ と低下してくる。この結果一次、二次破壊を通じての減少は少しこれ程大きくならないに反して、 $he$ の減少は大きくて $he$ と相關する事が理解される。

考察—Fig. 1 で示された一次破壊での応力歪曲線から破壊強度の領域ではひずみと体積増加がかなり進行しているのが分かる。

岩石の $he$ の増減が殆ど岩石内部の microcrack の頻度に依存する事が明確にされてゐるから、この領域でのひずみの急増と間隙圧の減少は内部の亀裂の増加によるものと考えられる。故に一次破壊でも亀裂の増加によって $he$ の増加が考えられるので Fig. 2 で示される二次破壊の岩石では $he$ が4%以下のものでも亀裂の増加により図の右側即ち $he$ が全体的に増加するものと思われる。そこで一次破壊以後の領域まで粒子間の結合力を期待するのは無理と思われる。

一方において Fig. 3 の様に二次破壊において一次破壊と殆ど変わらない位の見かけ上の $\phi$ が存在しても $he$ 4%以上の岩石でも少なくとも $0 \sim 50 \text{ kg/cm}^2$ を持つ事実がある。これはやはり粒子間の結合力では説明できばならないので Fig. 5 の様に拘束圧の違いによって軸差応力の増減が見られることは想合せると、一次破壊後の領域では粒子間相互の噛み合せによる構造性粘着力がかなり発揮されてゐると思われる。更に構造性粘着力が発揮できない程破壊が進むとでは $\sigma'$ に近くなり、それにつけ $\phi$ も減少し岩石は面と面の接触摩擦角で代表される、せん断抵抗を示すものと考えられる(Fig. 4)。その極限としては大島花崗岩の分離面に付し行 $\rightarrow$ 一面せん断試験結果から考えて $30^{\circ}$ 程度の摩擦角に漸近するものと考えられる。

#### 参考文献—

- 1) Z.T. Biniawski (1967) Mechanism of Brittle Fracture of Rock, Int. Rock. Mech. Min. Sci. vol. 4
- 2) 小野寺・吉中・小田 (1973) 花崗岩の間隙の性質と力学的性質の関連 第4回岩の力学国内シンポジウム
- 3) 吉中・吉田・手島 (1974) 岩石分離面のせん断特性の測定と結果の利用 第29回土木学会年次講演会 II-40

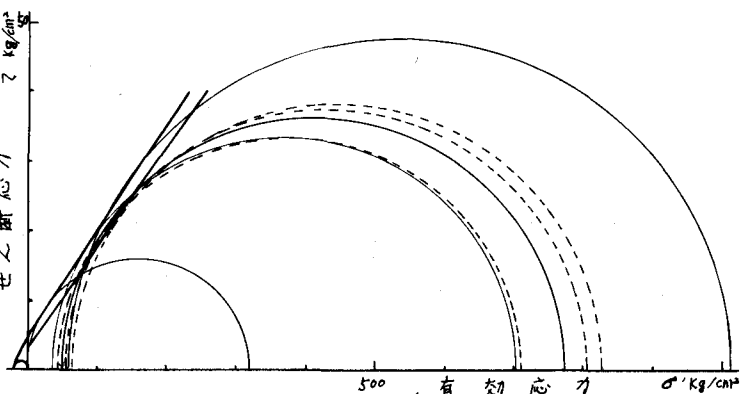


Fig. 3 試料 No. 5 のモール円と包絡線

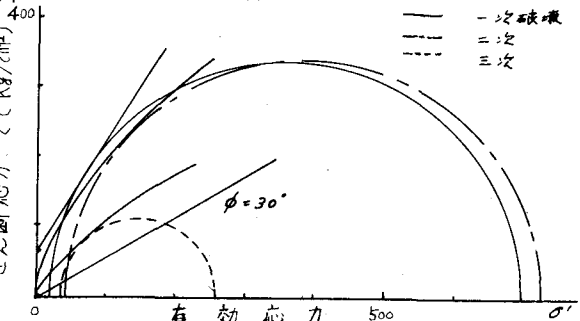


Fig. 4 No. 5-1 ( $he = 3.79\%$ ) の一次、二次、三次破壊のモール円

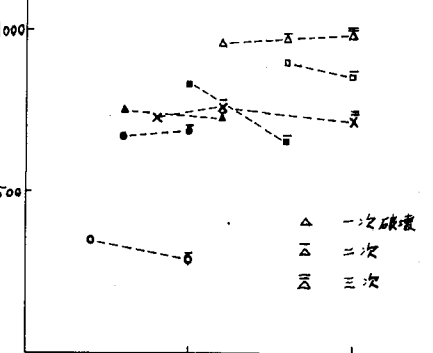


Fig. 5 破壊時の軸差応力と拘束圧の関係

Fig. 5 の様に拘束圧の違いによって軸差応力の増減が見られることは想合せると、一次破壊後の領域では粒子間相互の噛み合せによる構造性粘着力がかなり発揮されてゐると思われる。更に構造性粘着力が発揮できない程破壊が進むとでは $\sigma'$ に近くなり、それにつけ $\phi$ も減少し岩石は面と面の接触摩擦角で代表される、せん断抵抗を示すものと考えられる(Fig. 4)。その極限としては大島花崗岩の分離面に付し行 $\rightarrow$ 一面せん断試験結果から考えて $30^{\circ}$ 程度の摩擦角に漸近するものと考えられる。